

· 短篇报道 ·

# CT及MRI诊断盆腔巨大神经鞘瘤1例报告

曾盛熊 王磊 李勇\*

遂宁市中心医院放射影像科(四川遂宁 629000)

【关键词】神经鞘瘤；神经鞘瘤；骨盆的；计算机断层扫描；MRI

【中图分类号】R445.3；R445.2

【文献标识码】D

DOI:10.3969/j.issn.1672-5131.2024.01.059

## CT and MRI Diagnosis of Pelvic Giant Schwannoma: A Case Report

ZENG Sheng-xiong, WANG Lei, LI Yong.

Department of Radiology, Suining Central Hospital, Suining 629000, Sichuan Province, China

**Keywords:** Neurilemmoma; Schwannoma; Pelvic; CT; MRI

### 1 病例资料

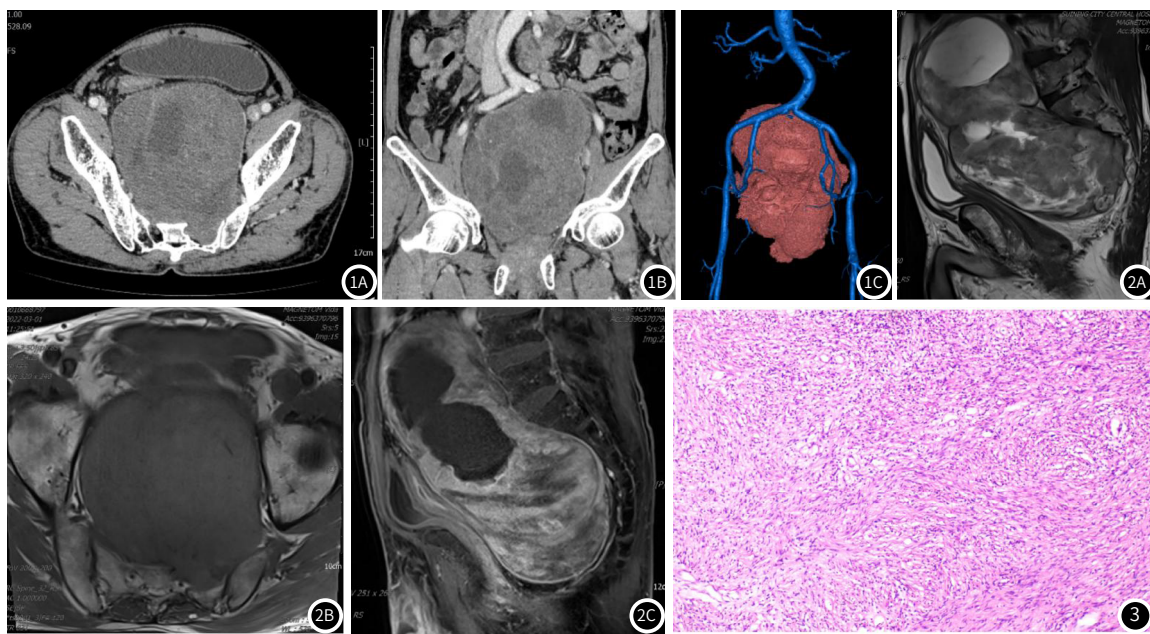
患者，老年男性(72岁)，因体检发现盆腔占位15+天于2022-02-27入院。体格检查无明显异常。实验室检查无明显特殊，肿瘤标志物未见明显异常。病程中，体重无明显减轻，大小便正常。

腹部增强CT示：盆腔内巨大占位，边界清楚，其内密度不均，内见多发液化坏死区，盆腔内肠管及膀胱受压移位，肿瘤延伸至左侧骶孔内，致左侧骶孔扩大，增强扫描明显不均匀强化，血管三维重建示双侧髂总动脉分叉增大(图1)。

盆腔MRI示：盆腔内骶前区巨大囊实性肿块，大小约13cm×15cm×20cm，实性成分T<sub>2</sub>WI(与邻近骨骼肌相比)呈稍高信号，T<sub>1</sub>WI与邻近骨骼肌信号类似，DWI可见弥散受限，增强扫

描明显不均匀强化，实性成分明显强化，囊性成分未见强化，亦可见肿瘤延伸至左侧骶孔内(图2)。

手术及病理：术中所盆腔及下腹腔巨大肿瘤，瘤体约20cm，瘤体表面血管怒张，与周围边界较清楚。术后病理：肿瘤细胞呈梭形，排列紧密；免疫组化结果： $\beta$ -Catenin(+),CD34(-),CD117(-),Desmin(-),Ki-67(阳性率<5%),SMA(-),STAT6(-),h-Caldesmon(h-CD)(-),S100(+)。根据肿瘤形态学及免疫组化指标，确诊为神经鞘瘤(图3)。出院后6个月随访患者恢复良好，未见复发及转移。



**图1A-图1C** 盆腔巨大神经鞘瘤CT图像；图1A-图1B 轴位及冠状位增强图像可见盆腔内巨大肿块，边界尚清楚，其内密度欠均，内见低密度液化坏死区，肿瘤延伸至左侧骶孔内。图1C 血管三维重建可见肿瘤位于双侧髂总动脉下方，双侧髂总动脉分叉角增大。

**图2A-图2C** 盆腔巨大神经鞘瘤MRI图像；图2A 矢状位T<sub>2</sub>WI图像示肿瘤实性部分呈稍高信号(与邻近骨骼肌相比)，囊性部分呈高信号。图2B 轴位T<sub>1</sub>WI示肿瘤呈等信号，信号较均匀，向左侧骶孔内延伸并左侧骶孔扩大。图2C 矢状位增强示肿瘤实性部分明显不均匀强化，囊性部分未见强化。

**图3** 神经鞘瘤病理图像，肿瘤细胞呈梭形，界限不清，排列紧密，呈编织状、栅栏状、旋涡状分布(H&E × 100)。

【第一作者】曾盛熊，男，住院医师，主要研究方向：中枢神经系统及泌尿消化系统疾病CT及MR诊断。E-mail: 1114655275@qq.com

【通讯作者】李勇，男，主任医师，主要研究方向：呼吸循环系统及中枢神经系统疾病CT及MR诊断。E-mail: 13890893057@163.com

## 2 讨 论

神经鞘瘤是由雪旺细胞组成的肿瘤病变，故又称雪旺细胞瘤，神经鞘瘤好发于颅神经及脊神经根，起源于周围神经的神经鞘瘤较少见，多以四肢软组织及颈部为主，发生于盆腔腹膜后者则更为罕见，仅占1%<sup>[1]</sup>。神经鞘瘤绝大多数都是良性，早期通常无症状，很难被发现，当肿瘤增大，压迫邻近器官产生相应临床症状后而被发现。神经鞘瘤常见于20至50岁的患者，男女均可发生。

Klomo等认为<sup>[2]</sup>，骶骨神经鞘瘤可细分为三型：I型肿瘤局限于骶骨；II型起源于骶骨，但肿瘤扩张到骶骨前或皮下间隙；III型位于盆腔或腹膜后。我们的病例表现为盆腔巨大肿块，应属于Klomo III型。原发性腹部或盆腔神经鞘瘤常位于骶前区或腹膜后下部及盆腔边缘，影像学通常表现为边缘光滑类球形肿块，病灶通常较大，血供丰富，瘤体内多可见液化、坏死区，部分肿瘤内可见钙化；MRI表现为T<sub>1</sub>WI（与邻近肌肉相比）呈等信号、T<sub>2</sub>WI高信号，信号通常不均匀，增强扫描病灶呈明显不均匀强化<sup>[3]</sup>。由于肿瘤通常较大且容易出现液化坏死，术前容易误诊为盆腔恶性肿瘤（如脂肪肉瘤、平滑肌肉瘤等），盆腔恶性肿瘤体积也较大，液化、坏死亦常见，但这些恶性肿瘤边界通常不清楚，易侵犯周围脏器和发生远处转移，而盆腔神经鞘瘤绝大多数为良性，对周围结构常表现为推挤、压迫，不会发生远处转移，神经鞘瘤容易延伸至骶椎孔内而导致骶椎孔扩大，通常不会导致骶椎骨质破坏，而盆腔恶性肿瘤侵犯骶椎常会引起骶椎骨质破坏，这也有助于神经鞘瘤与盆腔恶性肿瘤的鉴别。如果神经鞘瘤发生恶变则很难与其他恶性肿瘤鉴别，需要依赖病理学检查。

盆腔神经鞘瘤影像表现具有一定特征，CT和MRI检查对诊断本病有较高的价值，但确诊本病的金标准是组织病理学特征结合免疫组化指标。内镜下典型神经鞘瘤有Antoni A区和Antoni B区

交替结构。Antoni A区肿瘤细胞排列呈旋涡状或栅栏状，血供丰富，在CT上表现为较高密度的实性区域；MRI表现为T<sub>1</sub>WI中等信号，T<sub>2</sub>WI较高信号，MRI增强扫描呈中度以上强化；Antoni B区肿瘤细胞较稀疏，呈网状排列，基质含水量较高，在CT上表现为低密度液化、坏死区，增强扫描强化不明显<sup>[4]</sup>。神经鞘瘤特征性免疫组化指标是S-100呈强阳性，CD-34为阴性也提示本病诊断。手术是治疗本病的首选方法，通常建议对肿块进行整块根治性切除，腹腔镜下肿瘤切除通常适用于体积较小的肿瘤，由于大多数是良性肿瘤，通常不需要进行术后化疗或放疗，预后通常良好。

综上，我们报道了1例老年男性盆腔巨大神经鞘瘤，表现为盆腔巨大肿块，边界清楚，延伸至左侧骶孔内，肿瘤内多发囊变区，增强扫描明显不均匀强化，周围未见肿大淋巴结，为盆腔神经鞘瘤比较典型的影像学表现，但如果缺乏对本病的了解容易误诊。本病的首选治疗方法是手术切除，预后通常良好，术后复发率低。

## 参 考 文 献

- [1]付汪星,程敬亮.盆腔巨大神经鞘瘤误诊为卵巢肿瘤1例[J].中国医学影像技术,2014,30(05):702.  
[2]Klomo P Jr,Rao G,Schmidt RH,et al.Nerve sheath tumors involving the sacrum[J].Case report and classification scheme.Neurosurg Focus,2003;15(12):1-6.  
[3]Hughes M J,Thomas J M,Fisher C,et al.Imaging features of retroperitoneal and pelvic schwannomas[J].Clinical radiology,2005,60(8):886-893.  
[4]肖国军,吴佩红,许晓杰.CT及MRI在神经鞘瘤诊治中应用研究[J].中国CT和MRI杂志,2016,14(10):133-136.

(收稿日期: 2022-12-19)

(校对编辑: 韩敏求)

&lt;&gt;

(上接第182页)

## 2 讨 论

Castleman病少见，是一种非典型淋巴结增生疾病，Castleman等<sup>[1]</sup>在1956年首先报道，其中浆细胞型系Keller等<sup>[2]</sup>在1972年首先报道。Gaba和Frizzera分别于1978年和1985年报道本病临床分为单中心型和多中心型<sup>[3]</sup>，本病例为多中心浆细胞型。Castleman病可任何年龄发病，中年较多，平均年龄(23.0±2.8)岁<sup>[4]</sup>，该例为11岁儿童。

病理分型为透明血管型、浆细胞型、混合型，以透明血管型较多，占80%-90%，浆细胞型较少<sup>[5]</sup>。透明血管型大多为单中心型，约占90%，主要表现孤立的淋巴结肿大，患者一般症状不明显，如果发生于肺门及纵隔，常表现为咳嗽及胸痛，有的患者有咳血症状。浆细胞型多为多中心型，约占90%，全身均可发病，以腹膜后及肠系膜淋巴结肿大最常见，侵袭性较强，极易恶变，可发展为恶性肿瘤，如Kaposi肉瘤、淋巴瘤<sup>[6-10]</sup>，患者常伴有发热、脾大、贫血等症状。本病例特征为长期发热，慢性病容，贫血，全身表浅淋巴结和纵隔肺门淋巴结肿大，腹膜后及肠系膜未见明显肿大淋巴结。影像学诊断较难，需要与淋巴瘤、多系统结节病等鉴别，该病例最后淋巴结穿刺病理确诊。多中心浆细胞型Castleman病预后差，目前尚无标准化治疗方案。

## 参 考 文 献

- [1]Castleman B,Lverson L, Menendez VP. Localized mediastinal lymph-node hyperplasia resembling thymoma [J]. Cancer, 1956, 9(4): 822-830.

- [2]Keller AR,Hochholzer L,Castleman B.Hyaline-vascular and plasma-cell types of giant lymph node hyperplasia of the mediastinum and other locations [J].Cancer,1972,29(3):670-683.  
[3]赵晓红.浆细胞型巨大淋巴结增生症[J].罕少疾病杂志,2003,10(1):13-14.  
[4]刘金全,文海忠,朱志娟,等.巨淋巴结增生症的CT诊断价值[J].中国医药指南,2015,13(20):226-227.  
[5]刘文辉,张忠云,梁月有,等.腹膜后局灶型巨淋巴结增生症分析[J].新医学,2011,42(4):253-256.  
[6]Kazakov D V,Morrison C,Plaza J A,et al.Sarcoma arising in hyaline-vascular Castleman disease of skin and subcutis [J].Am J Dermatopathol,2005,27(4):327-332.  
[7]Oksenhendler E,Duarte M,Soulier J,et al.Multicentric Castleman's disease in HIV infaction:a clinical and pathologic study of 20 patients [J].AIDS,1996,10(1):61-67.  
[8]Abdei-Reheim F A,Koss W,Rappaport E S,et al.Coexistence of Hodgkin's disease and giant lymph node hyperplasia of the plasma-cell type(Castleman's disease) [J].Arch Pathol Lab Med,1996,120(1):91-96.  
[9]Larroche C,Cacoub P,Soulier J,et al.Castleman's disease and lymphoma:report of eight cases in HIV-negative patients and literature review [J].Am J Hematol,2002,69(2):119-126.  
[10]Soulier J,Grollet L,Oksenhendler E,et al.Kaposi's sarcoma-associated herpesvirus-like dna-sequences in multicentric Castleman's disease[J].Blood,1995,86(4):1276-1280.

(收稿日期: 2023-02-23)

(校对编辑: 韩敏求)